千葉県手賀沼の底質に記録された富栄養化と 重金属汚染の時系列解析

濱田崇臣*本橋哲郎**
渡邊眞紀子***伊藤 洋*

Chronosequencial Analysis of Eutrophication and Heavy Metal Pollution Recorded in Sediments of Lake Teganuma, Chiba Prefecture, Japan

> Takaomi HAMADA*, Tetsuo MOTOHASHI**, Makiko WATANABE*** and Hiroshi ITO*

Abstract

Records of short-term environmental changes caused by urbanization and industrialization are expected to be preserved in lake sediments. Besides, a consistent, high-resolution baseline record is required to interpret extreme influences of human impact such as heavy metal pollution and eutrophication. In this study, the numerical dates of the core samples taken from Lake Teganuma are determined using the ²¹⁰Pb and ¹³⁷Cs dating method. Concentrations of heavy metals are obtained for centrifuged water samples with wet core samples, and for HCl and acetic ammonium extracts with oven-dried core samples, to clarify the existing state and the mobility of metals. Total carbon content, total nitrogen content, and C/N ratio are also obtained for oven-dried core samples to analyze the influence of human impact on water deterioration of Lake Teganuma. According to the analytical results for total carbon, nitrogen, and C/N ratio, the eutrophication in Lake Teganuma started around 1946 and shifted further to a critical condition in the late 1960's. Zn and Cu pollution began around 1955, while serious Cr pollution occurred around 1963. These responsible factors for the water environmental changes in Lake Teganuma represent stresses of population increase and drainage closure due to reclamation.

Key words: lake sediment, eutrophication, heavy metal, ²¹⁰Pb and ¹³⁷Cs dating **キーワード**: 底質, 富栄養化, 重金属, 鉛 210 法, セシウム 137 法

^{*(}財)電力中央研究所地球工学研究所

^{**} 東京工業大学大学院総合理工学研究科 現所属:栗田工業株式会社

^{***} 東京工業大学大学院総合理工学研究科

^{*} Central Research Institute of Electrical Power Industry, Civil Engineering Research Laboratory

^{**} Tokyo Institute of Technology, Interdisciplinary Graduate School of Science and Engineering. Present address: Kurita Water Industries Ltd.

^{***} Tokyo Institute of Technology, Interdisciplinary Graduate School of Science and Engineering

I. はじめに

人間活動の影響を考慮した湖底堆積物の研究 は、Thomas (1972)による Ontario 湖、Aston et al. (1973)による Windermere 湖、Förstner et al. (1974) による Constance 湖など多くの例 があり、産業化によるインパクトが堆積物中の重 金属として記録されていることを示している。日 本においても、松本(1975)による琵琶湖や寺島 ほか(1990)による諏訪湖などの例があり、各種 重金属や炭素窒素量の増減が周辺地域における人 間活動の変動記録として有効であることが示され ている。湖沼堆積物を短い歴史の記録計として注 目する場合、信頼性のある記録検出とともに、時 間軸の決定が重要な意味をもつ。しかしながら、 近年100年程度の年代測定については、放射性 炭素同位体法や火山灰層序といった通常の湖沼堆 積物の年代決定で用いる手法では時間分解能が 粗いため適用することができない。松本(1975; 1979)は、東京湾、大阪湾の堆積物について鉛 210 法を用いて堆積年代を求め、鉛 210 法が 近年 100 年程度の湖沼および海洋堆積物の年代 測定に有効であるとしている。また、金井ほか (2002)は、鉛 210法と人工放射性核種をマー カーとするセシウム 137 法を用いて島根・鳥取 県中海における堆積速度と堆積環境を詳細に検討 している。

一方,中島ほか(1985)は岡山県児島湖において湖底表層堆積物中の重金属とリンの蓄積挙動を調べるため、堆積物を6種の薬品で処理し、9種の重金属とリンの形態別濃度を測定している。この報告は、水圏に放出された各元素の堆積物中での蓄積挙動は元素によってかなり異なることを示し、人間活動により放出された重金属による汚染の評価に際しては、各重金属の堆積物中での形態を把握することが重要であると指摘している。このほかに重金属元素の形態分析を行った研究として大塚(1981)による愛知県入鹿湖の堆積物に関する研究、中島(1982)による琵琶湖における重金属形態の鉛直濃度変化を示した研究、Sakata(1985)によるダム貯水池の堆積物における重金

属の存在形態の推定などが行われているが、高精度の記録検出のための重金属分別溶出法については研究者間での統一はまだ見られない。

本研究の研究対象となる千葉県北部の手賀沼の 堆積物については、千葉県水質保全研究所の報告 (小林・楠田, 1985)が知られている。ここでは、 手賀沼の汚染泥の総堆積量、各元素の堆積物表層 分布が示され、さらに厚さ 10 cm ごとの分析を 用いて鉛直分布を明らかにしている。しかしなが ら、堆積物の年代が明らかになっていないため、 水質汚染の開始時期については明確に言及してい ない。手賀沼の集水域は比較的狭い範囲にまと まっているのに加え、都市化や土地利用の急速な 変化を受けているため、湖水の水質に急速な変化 が生じたと考えられる。湖水の COD で比較した 場合、2000年(平成12年)まで27年間連続し て、日本で最も水質が悪化した湖沼であった。こ のことから、手賀沼の底質には人為的な環境変化 を示す強いシグナルが記録されていると考えられ る。本研究では、手賀沼を対象に、鉛 210 法お よびセシウム 137 法による底質の年代測定、そ して重金属の形態別濃度を指標とした湖沼堆積物 中の重金属堆積挙動解析を踏まえて、富栄養化を 含めた手賀沼の水質変化の時系列解析を行うこと を目的とした。

II. 研究の方法

1) 試料採取と処理

手賀沼は千葉県北西部に位置し、水面積 6.50 km², 最大水深 3.8 m, 平均水深 0.86 m, 湛水量 560 万 m³ の浅い小湖沼である。都市近郊にある自然公園として訪れる人も多く、また、農業用水源および漁場としても、貴重である。手賀沼の集水域は 7 市にまたがり、流域面積は153 km² である。流入河川は本手賀沼に流入する大堀川、大津川、染井入落と南部手賀沼に流川、大津川、染井入落と南部千化(柏市根本工業団地、北柏団地、柏市根戸工業団地、豊四季団地、光が丘団地の開発)が進んでいる。染井入落と金山落の流域には沼南工業団地、白井

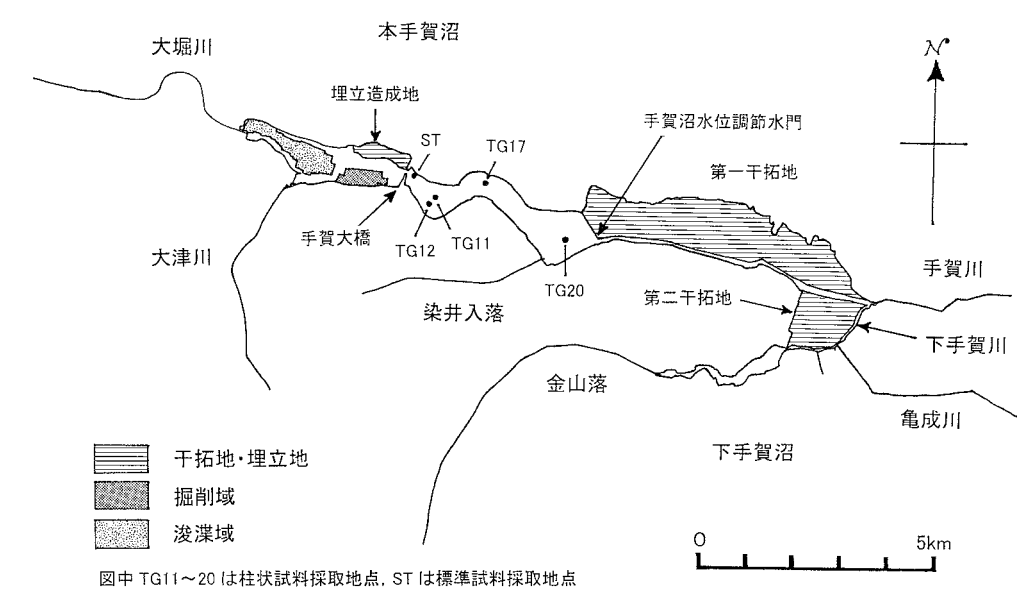


図 1 調査地域および試料採取地点.

Fig. 1 Investigated area and locations of core samples.

第一・第二工業団地がある。手賀沼は1946年 に開始した干拓事業を経て、現在のように本手 賀沼と下手賀沼に分離し、1976から1994年に かけて埋立て、掘削、および浚渫工事が行われ てきた(図1)。本研究では、掘削および浚渫が 行われていない本手賀沼手賀大橋以東の4地点 (TG11, 12, 17, 20)で採取された試料を分析 対象とした。採取地点の緯度経度、採取日時、お よび試料形態は表1に示す通りである。試料の 採取には不撹乱柱状採泥器(離合社製 HR 2型) を使用し、採泥器の自重(約15kg)によって堆 積物表層の軟泥に貫入した直径 11 cm, 長さ 29 -40 cm (TG11: 31.2 cm, TG12: 29 cm, TG17: 31.4 cm, TG20: 40.2 cm)の柱状の不撹乱試料を 得た。試料は、採取後直ちに船上で2cm厚にス ライスした後、速やかに実験室に持ち帰り、遠心 分離を行って間隙水を分離し、 間隙水成分分析用 の試料とした。また、間隙水を除いた堆積物は、 温度60 で3日間乾燥させた後、メノウ乳鉢で 粉砕し、堆積物分析用の試料とした。なお、間隙

水試料は、TG17 と TG20 の 2 地点のコアについ てのみ分析を行った。

2)分析方法

1. 間隙水の酸化還元電位,pH,電気伝導度本研究では、間隙水の酸化還元電位,pHと堆積物中の重金属の形態への影響について検討を行うために、簡易酸化還元電位計(東亜電波社製RM-12P型)を用いて酸化還元電位を、pHメータ(横河電気社製PH2型)を用いてpHを測定した。

溶存化学成分の大まかな目安を求めるために、 間隙水の電気伝導度を簡易電気伝導度計(東亜電 波社製 CM14-P型)により測定し、25 におけ る補正値として求めた。

2. 重金属濃度

人間活動によって湖水に増加すると考えられる 亜鉛、銅、カドミウム、クロム、鉄、マンガンに ついて間隙水および堆積物試料についてそれぞれ 測定を行った。なお、堆積物試料については、酢 酸アンモニウムおよび塩酸によって抽出した溶液

表 1 コア試料 (TG11, TG12, TG17, TG20)の位置, 採取日時, コア長, 色, 粒度, 堆積構造.

| Toble 1 | Location data donth | color toxture | e, and structure of the core | complex: TC11 TC | 19 TG17 and TG90 |
|---------|-----------------------|------------------|------------------------------|-------------------|----------------------|
| rabie r | Location, date, debin | . color. texture | e, and structure of the core | samples: 1G11, 1G | 112. 1G17. and 1G20. |

| 試料番号 | 採取位置* | 採取日時 | コア長(cm) | 色 | 粒度 | 堆積構造 |
|------|--------------------------------|------------|---------|--------------------------|----------------------------|--------------|
| TG11 | 35 ° 51.525N, 140 ° 02.125E | 1998年6月12日 | 30.0 | 黒褐色 | シルト質泥 | なし |
| TG12 | 35 ° 51.370 140 ° 02.160 | 1998年6月12日 | 28.0 | 黒褐色 | シルト質泥 | なし |
| TG17 | 35 ° 51.620 140 ° 02.641 | 1998年6月27日 | 31.4 | 黒褐色 深度 26cm 以下 茶褐色 | シルト質泥 深度 26cm 以下 細粒砂 | 深度 26cm 付近に貝 |
| TG20 | 35 ° 51.095 140 ° 03.279 | 1998年6月27日 | 40.2 | 黒褐色 | | なし |

*船上でGPSにて測定

の重金属濃度を測定した。ここで、塩酸によって 抽出された重金属は、堆積物中の重金属量の目安 と考えた。また、金属の価数の違いによる分別は 行わなかった。一方, 酢酸アンモニウムによって 抽出される重金属は、堆積物の粘土鉱物や有機 物、鉄やマンガンの水酸化物または酸化物の表面 にゆるく結合した状態のものであると考えられ ている(中島, 1982)。 なお、 測定には ICP 発光 分析装置(島津製作所製 ICP-1000)を用いた。 本装置の測定下限値(検出限界)は、Pbについ ては 10 ppb, その他の重金属については 1 ppb である。測定誤差については、今回明らかにして いないが、原子吸光光度計を用いた重金属測定の 誤差については既往の研究例があり、およその 指標にすることができる(Saeki et al., 1993: 松 本・横田、1977; Hoshika and Shiozawa、1984)。 それらによれば、手賀沼および東京湾の底質を 硝酸、過塩素酸、フッ酸処理で全溶解処理した 溶液について、カドミウム、鉛、亜鉛、銅、マ ンガン、鉄を測定した例では10%以内の、亜鉛、 銅、クロム、鉛、マンガンを測定した例では7% 以内の誤差が見積もられている。また、Hoshika and Shiozawa (1984)は、瀬戸内海の堆積物中 の重金属濃度を測定し、鉄の測定誤差を20%と 見積もっている。本研究で使用している ICP の 測定精度が原子吸光光度法より高いことを考慮す

ると,重金属濃度の測定誤差は,鉄を除く銅,亜鉛,クロム,マンガンについては10%以内に収まると判断できる。

以下に抽出方法を示す。

 $0.1\,\mathrm{M}$ 塩酸抽出:ポリプロピレン製の遠沈管に乾燥させた堆積物粉砕試料 $0.5\,\mathrm{g}$ を入れ、これに $0.1\mathrm{M}$ の塩酸溶液 $25\,\mathrm{cm}^3$ ($\mathrm{pH}<2$)を加え、約 24 時間、振とうした。その後、10000 × $\mathrm{G}/10\,\mathrm{min}$ で遠心分離し、上澄みを孔径 $0.45\,\mu\mathrm{m}$ のメンブランフィルター(Millipore 社製)でろ過し、ろ液に $0.1\,\mathrm{M}$ の塩酸を加えて $\mathrm{pH1}$ に調整し、50 cm^3 とした。

1 M 酢酸アンモニウム抽出:ポリプロピレン製の遠沈管に堆積物粉砕試料 $0.5\,\mathrm{g}$ を入れ、これに $\mathrm{pH7}$ に調整した $\mathrm{1M}$ の酢酸アンモニウム溶液 $25\,\mathrm{cm}^3$ を加え、約 4 時間振とうした。その後、 $10000\times \mathrm{G}/10\,\mathrm{min}$ で遠心分離し、上澄みを孔径 $0.45\,\mu\mathrm{m}$ のメンブランフィルター (Millipore 社製)でろ過し、ろ液に濃塩酸 ($12\mathrm{N}$) $2.08\,\mathrm{cm}^3$ と精製水を加えて $\mathrm{pH1}$ に調整し、 $50\,\mathrm{cm}^3$ とした。

間隙水抽出:遠心分離によって堆積物から間隙水を抽出し、これを孔径 $0.45~\mu\,\mathrm{m}$ のメンプランフィルター(Millipore 社製) でろ過し、ろ液に濃塩酸を加えて pH1 に調整した。

3.全炭素・全窒素量, C/N 比 堆積物中の全炭素,全窒素の測定は, 乾式燃焼 法(住友分析センター製スミグラム N80 を使用) によって行った。本手法による N%, C%の検出 限界は, それぞれ 0.003%, 0.001%である。

4.鉛 210 およびセシウム 137 法による年代 測定

本研究では、鉛 210法、セシウム 137法によ り過去数十年間の堆積物の年代を求めた。堆積物 中の鉛 210 およびセシウム 137 の濃度は、堆積 物の γ 線量を測定することにより求めた。 γ 線の 測定は、測定器に併設された専用の遮蔽体内に試 料を置き、井戸型ゲルマニウム半導体検出器を用 いた γ 線スペクトロメトリーにより行った。測定 は, 各試料とも86400秒(一日)行った。鉛210 とセシウム 137 のピークを持たない比較的古い 底質試料として図1に示す地点において深度の深 い底質試料を採取し、この試料を用いた測定値を バックグランド値とし、各計測値からこのバック グランド値(Pb: 2662 カウント, Cs: 285 カウン ト)を差し引いて、鉛 210 の 46.522KeV のピー クとセシウム 137 の 662KeV のピーク、それぞ れの面積を求め、これをγ線量とした。また、堆 積物中の鉛 210 の濃度は、濃度が既知の標準試 料のγ線を測定して得られた検量線から求め、こ れらの値を堆積物中における過剰鉛 210 濃度と した。この結果をもとに、縦軸に堆積物の積算重 量, 横軸に過剰鉛 210 濃度とセシウム 137 濃度 をとり、縦軸を対数表示すると測定値は直線上に ならび、この直線の傾きは、柱状試料の平均堆積 速度を示す。そこで、本研究では、過剰鉛 210 の濃度が半減するのに要する時間が22.3年とし て、1年間に1cm²あたりに堆積した重量、すな わち堆積速度(g/cm²/y)を求めた。

III. 研究の結果

1)鉛 210・セシウム 137 法による底質の堆 積速度

鉛 210 法によって得られた TG11, 12, 17, 20 の堆積速度は図 2 に示すように、それぞれ 0.19 $g/cm^2/y$, 0.36 $g/cm^2/y$, 0.10 $g/cm^2/y$, 0.18 $g/cm^2/y$ であった。また、セシウム 137 は測定した 4 つの試料すべてから検出された。人工放射

性核種であるセシウム 137 は,大気中の核実験によって放出され地表に降下し,降下するセシウム 137 の量は大気圏核実験の回数に比例して増減する (Peirson, 1971; 金井ほか,1995)。このため,セシウム 137 の降下の記録から検出され始める年を 1954 年,ピークとなる年を 1963 年として目盛りをつけることができる。 TG11 についてはセシウム 137 のピークの層準を 1963 年と判断すると,鉛 210 法による堆積速度の測定結果と非常によく一致した(図 2)。しかしながら,TG17,TG20 では,セシウム 137 のピークは,鉛 210 法による堆積速度から推定される 1963年の層準に一致しなかった(図 2)。 堆積速度の大きい TG12 は,セシウム 137 のピーク層準を含まなかった。

2) 間隙水の酸化還元電位, pH, 電気伝導度

図3に手賀沼底質の酸化還元電位, pH, 間隙 水の電気伝導度の測定結果を示す。一般に自然状 態に近い水域における底質表層の酸化還元電位 (水素電極に対する電位)は、平均して + 200 mV 前後であり、酸化還元電位が + 200 mV より低い 場合は還元状態、高い場合は酸化状態とすること が多い(日本水産資源保護協会,1980)。本手賀 沼で採取した4つの試料のうち、酸化還元電位 測定を行った TG17, 20 の 2 試料とも, 最下位 から深度 10 cm 付近までは + 120 ~ 190 mV で、 鉛直方向に変化はほとんど認められないが、深度 10 cm から表層に向かって酸化状態に移行してい く傾向が見られ、表層では +300~380 mV と なった。また、底質の pH は,2 つの試料(TG17, 20)にはほとんど差異は認められず、鉛直方向に も有意な変化はない。pH 値は 7.4 ~ 7.7 程度で, ほぼ中性である。なお、千葉県(1992)の調査に よると, 手賀沼の湖水表層 pH は夏場で8~10, 冬場で 7.5~ 8.5 とアルカリ性を示し、これはア オコなど植物プランクトンの活発な光合成作用に より CO₂ が消費され、水素イオン濃度が下がる ためであるとされている。一方、底質中ではプラ ンクトンによる光合成もほとんどなく、微生物の 呼吸により CO2 が放出されるため、pH 値は湖水 の pH よりも低い中性を示すものと考えられる。

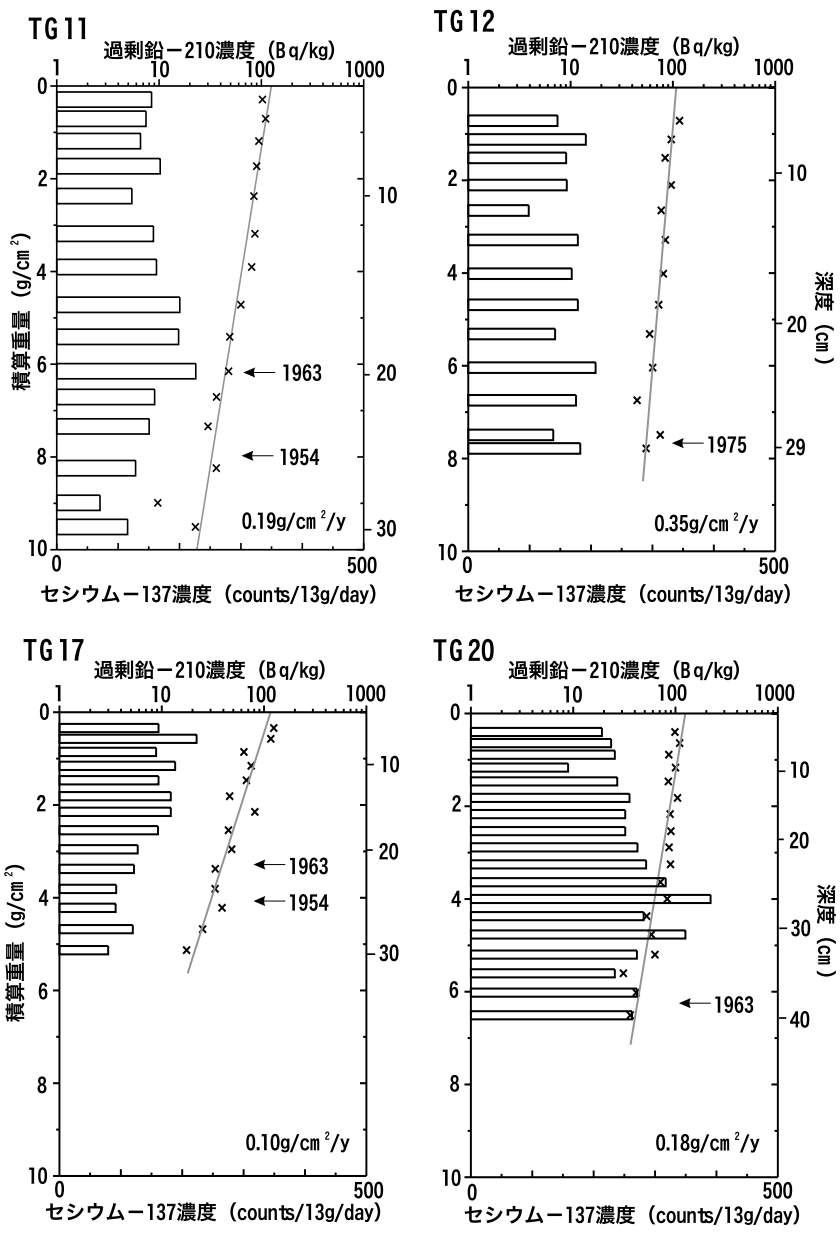


図 2 鉛 210 法とセシウム 137 法による堆積速度の算出. 棒グラフはセシウム 137 濃度, ×印は鉛 210 濃度を示す. 図中の年代値は,鉛 210 法から求めた年代.

Fig. 2 $\,^{210}$ Pb and 137 Cs dating and resulting sedimentation rate of each core. Bars: Concentration of 137 Cs, Cross: Concentration of 210 Pb. The dates estimated by 210 Pb dating method are noted in each figure.

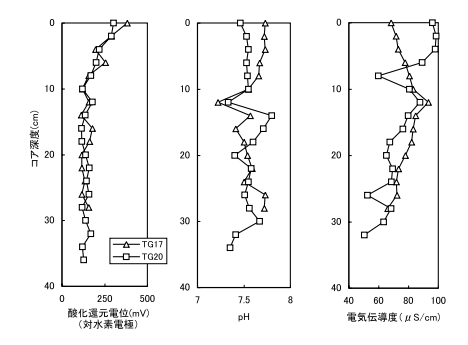


図 3 間隙水中の酸化還元電位, pHと電気伝導度.

Fig. 3 Oxidation-reduction potential, pH value and electrical conductivity of pore water samples.

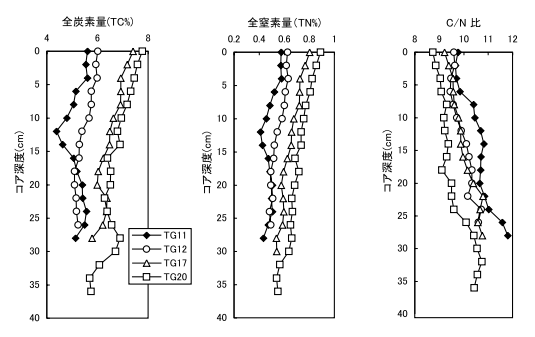


図 4 堆積物中の全炭素量,全窒素量とC/N比.

Fig. 4 Contents of total carbon and total nitrogen and C/N ratios of sediment samples.

2 試料 (TG17, 20) の底質の電気伝導度は 50 ~ $100~\mu$ S/cm 程度であり,コア深度 $10~\rm cm$ まで鉛直上方向に向かって伝導度は大きくなる傾向がある。ただし,表層部 $10~\rm cm$ の間隙水の挙動は 2 つの試料で異なり,TG20 で間隙水に溶けているイオンの量が多いことが示された。

3)全炭素・全窒素量, C/N 比の鉛直分布

4 地点の全炭素、全窒素、C/N 比の鉛直分布を図 4 に示す。全炭素、全窒素含量は、それぞれ $4.4 \sim 7.8\%$ 、 $0.41 \sim 0.89\%$ であり、ともに深さ 10~cm より上位の層準で値が高い。C/N 比は、8.7 から 11.8 で上位層準ほど小さな値を示す。全炭素、全窒素、C/N 比の挙動は TG11 と 12、TG17 と TG20 においてそれぞれ類似した傾向がみられる。TG17 と TG20 では窒素含量の増加が顕著で

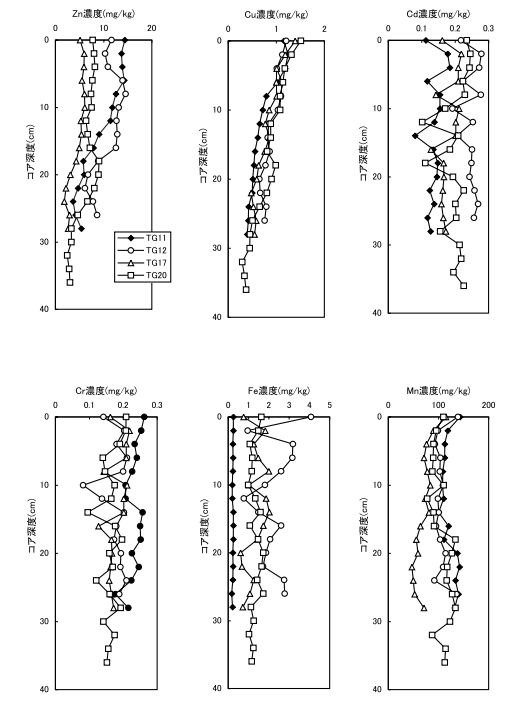


図 5 塩酸抽出による堆積物中の重金属濃度.

Fig. 5 Concentrations of heavy metals in sediment samples extracted with HCl.

あり、バイオマス N 源であるアオコなどの植物 プランクトンの増加、あるいは生活廃水に含まれ るアンモニア態窒素の流入の影響が考えられる。

4) 形態別にみた重金属元素の鉛直分布

堆積物から塩酸抽出と酢酸アンモニウムを用いて抽出した重金属の濃度分布を図5と6に、間隙水中の重金属の濃度分布を図7に示す。

まず,塩酸抽出についてみると,鉄(Fe)が $10500 \sim 17900 \, \text{mg/kg(ppm)}$ と最も濃度が高く,次いでマンガン(Mn)が $584 \sim 1800 \, \text{mg/kg}$, 亜 鉛(Zn)が $47.2 \sim 228 \, \text{mg/kg}$, 銅(Cu)が $26.1 \sim 49.1 \, \text{mg/kg}$,カドミウム(Cd)が $5.8 \sim 10.3 \, \text{mg/kg}$,クロム(Cr)は $0.85 \, \text{から} 4.2 \, \text{mg/kg}$ となった。中島(1982)によって報告されている琵琶湖のコアサンプルの測定値は、マンガンが

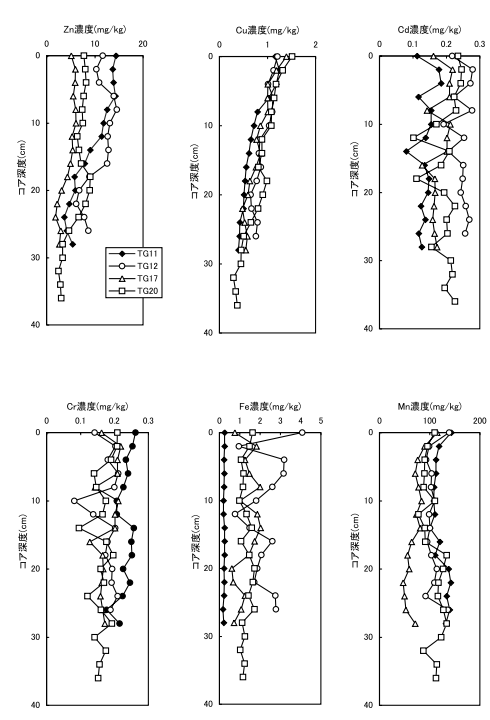


図 6 酢酸アンモニウム抽出による堆積物中の 重金属濃度.

Fig. 6 Concentrations of heavy metals in sediment samples extracted with ammonium acetate.

4000 ppm (mg/kg)前後, 鉄が 2% (20000 mg/kg)程度, カドミウムが 0.8 ppm (mg/kg)前後, 銅が 40 ppm (mg/kg), 亜鉛が 60 ppm (mg/kg)前後である。流域規模等の違いはあるが, 湖沼堆積物として琵琶湖と手賀沼を比較すると, 手賀沼の堆積物中の方がマンガンの濃度が低く, 鉄もやや低い濃度を示す。亜鉛については, 手賀沼の堆積物中の方がより高濃度で,カドミウムはやや高濃度で含まれる傾向にある。また, 亜鉛とクロムは,上位層準ほど高濃度で存在する傾向が認められる。鉄,マンガン,カドミウムは,TG11以外のコアについては深度による濃度変化がほとんどみられないが,亜鉛とクロムは,各コアとも明瞭な深度依存性を示しており,これら2つの金属は湖沼環境の変遷を記録していると考えられる。

酢酸アンモニウム抽出については、マンガンが

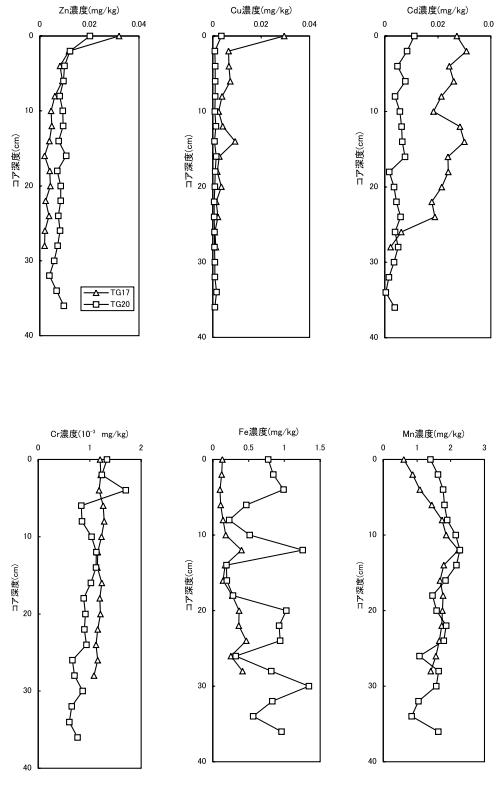


図 7 間隙水中の重金属濃度.

Fig. 7 Concentrations of heavy metals in pore water samples.

 $47.1 \sim 143 \, \mathrm{mg/kg}$, 亜鉛が $1.9 \, \mathrm{mb}$ $14.6 \, \mathrm{mg/kg}$, 鉄が $0.1 \sim 4.1 \, \mathrm{mg/kg}$, 銅が $0.3 \sim 1.5 \, \mathrm{mg/kg}$, カドミウムが $0.08 \sim 0.28 \, \mathrm{mg/kg}$, クロムが $0.08 \sim 0.26 \, \mathrm{mg/kg}$ となった。このうち,銅は上位層準ほど高濃度を示し,亜鉛も不明瞭ながら同様の傾向をもつ。カドミウムとクロムは全層準を通じて検出下限付近の濃度であり,値が分散している。またマンガンと鉄については,分散が大きく,明瞭な深度依存性を読み取ることができない。

間隙水中の重金属濃度は、マンガンが $0.6 \sim 2.3 \, \mathrm{mg/kg}$ 、鉄が $0.1 \sim 1.3 \, \mathrm{mg/kg}$ を示すが、いずれのコアにも明瞭な深度依存性は認められない。亜鉛、カドミウム、銅、クロムは、定量下限付近あるいはそれを下回る値を示し、変動に有意性がない。ただし、TG17 の表層 $2 \sim 3 \, \mathrm{cm}$ 付

近の間隙水で亜鉛と銅が高い濃度で検出された。 鉄、マンガンは、先に述べた塩酸抽出、酢酸アン モニウム抽出と同様に間隙水でも、深度依存性を 有していない。このことは、これらの元素が、還 元状態の堆積物中で酸化数が変化し、易動性が大 きくなるためと考えられる。なお、間隙水中の鉄 とマンガンの挙動は電気伝導度(EC値)に反映 されており、EC値もまた深度依存性を有してい ないと判断される。

なお、酢酸アンモニウムの NH4 + イオンと交換溶出させることができる鉄やマンガンについては還元状態下で Fe(II)イオンおよび Mn(II)イオンとしてコロイド粒子へ吸着した形態よりもむしろ、有機物と結合した懸濁物質中の形態が含まれると考えられる。後者は堆積沈殿後の移動性は小さいと考えられるが、間隙水に含まれる鉄およびマンガンが移動してコロイド粒子に再吸着されていることも考えられる。ここで得られた鉄とマンガンの挙動については、今後の検討を要する。

IV.考察

1)鉛 210・セシウム 137 法による底質の堆 積速度

鉛 210 法の結果によれば、採取したコアの下位の部分には、セシウム 137 の降下がない時代 (1954 年以前) のものが含まれる。また、セシウム 137 の降下は、1963 年をピークにその後ほとんど観測されていないことが知られている(Katsuragi, 1983; Katsuragi and Aoyama, 1986)。ところが、今回の分析の結果では、コアの全層準を通じてセシウム 137 が検出されている。堆積物中のセシウム 137 は、数十年程度ではほとんど移動しないと考えられるので(Mahara, 1993) 鉛 210 法による年代値が正しければ、セシウム 137 は、堆積物の攪乱などの物理的な作用によって混入したものと考えざるをえない。

しかしながら、堆積物中の鉛 210 の鉛直変化 パターンを見ると、堆積物が著しい攪乱が受けているとは考えにくい。また、不明瞭ながらセシウム 137 の分布のピークが見られることや重金属元素の鉛直方向の濃度変化が認められることなど

も、攪乱が堆積物全体に及ぶような著しいものではないことを示唆する。したがって、セシウム137の混入は、軽微な攪乱によるものと推定される。

このような堆積物に対する攪乱は、鉛 210 法 と人工放射性核種(55Fe, 137Cs, 239Pu)による 年代値のクロスチェックを行った既往の研究に よっても推定されており(Krishnaswami, 1974; Robbins and Edgington, 1975; Edgington and Robbins, 1976) それらは、ほとんどの場合、各 降下核種から求めた短期間の堆積速度の方が、 鉛 210 から求めたより長期の堆積速度に比べて 大きくなっている。

TG20では、セシウム 137の極大値を示す層準は、鉛 210法から見積もられる 1963年ごろの層準よりも浅部にあり(図2) 既往の研究例と同様に、人工降下核種であるセシウム 137から求めた短期間の堆積速度の方が、鉛 210から求めたより長期の堆積速度に比べて大きい。仮に、深度 27 cm 付近に存在するセシウム 137の極大値を 1963年とみなした場合、表層からこの層準までの内挿による堆積速度は、0.10 g/cm²/y程度となる。この値は、TG20の下位のデータのみを用いて計算した場合の鉛 210堆積速度にほぼ相当する。

一方、TG17では、セシウム 137の極大値は、コア最上部付近にあり、これを 1963年とみなすと、これより上位の堆積物がかなりの厚さに渡って削剥されていると考えられる。ただし、TG17の表層付近に存在するセシウム 137の極大値は、y線スペクトルのピークが小さく、形状もやや不明瞭であり、1963年に確実に対比しうるものであるのかについて疑問がある。仮に表層付近のセシウムの極大値が 1963年のピークではないとすると、このコアには他に 1963年に対比すべき層準が存在しないことになり、該当層準が攪乱を受けているか欠損しているものと推定される。

一般的に、堆積物の攪乱の原因としては、バイオターベーション、水流などによる堆積物の二次的な削剥・再堆積、試料採取時の攪乱、その他の人為的な攪乱が考えられる。このうちバイオター

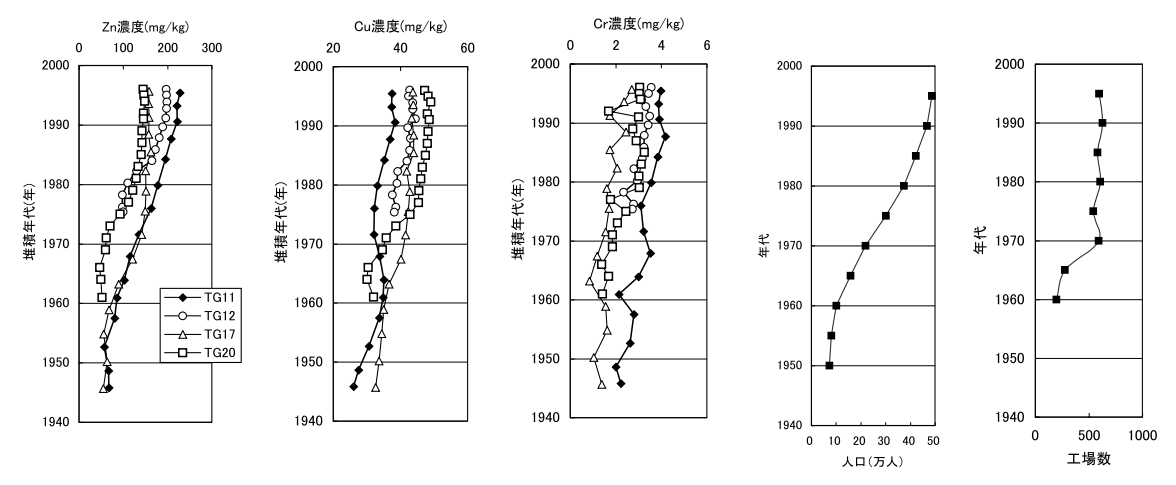


図 8 年代軸で表した本手賀沼堆積物中の重金属濃度と人口・工場数の推移との対応.

Fig. 8 Chronosequencial variation of heavy metal concentrations in Hon-Teganuma sediment cores compared to population and number of industrial firms.

ベーションについては、現在、手賀沼湖底にそれ を引き起こす底生生物は存在しないと考えられ る。したがって、堆積物表層の攪乱については、 水流による攪乱の可能性が高いと考えられる。手 賀沼は非常に湖水が停滞し、湖底起伏の小さいの 湖沼であるので(濱田・阿部, 1998)。湖底の堆 積物に影響を与えるような水流は、台風などの限 られた時にのみ生じ、影響を受ける場所も比較的 限定されているものと考えられる。また、バイオ ターベーションは、湖沼の汚染が現在のように著 しくなる以前については、その可能性を否定でき ない。人為的な湖底の攪乱については、試料を採 取した範囲に関して直接的な関与はないと考えら れる。ただし、かつて行われていた漁業による影 響や近年、調査水域の西方で行われている浚渫事 業あるいは、埋立て造成等による湖底堆積物の巻 上げ、再堆積が生じている可能性が考えられる。

堆積物の攪乱の原因となった現象としては、以上のものが考えられる。残念ながら、具体的にこれらのどの現象が、採取した堆積物にどのくらい影響を与えているのかについては、明らかにできない。しかし、これらの攪乱の影響は、湖底全体に激しくに及ぶようなものではないと考えられる。

そこで、本研究では鉛 210 法とセシウム 137 法で年代値のクロスチェックがなされた TG11 をもっとも信頼性をもって扱うことのできるデータとみなした。ほかの TG12、17、20 の鉛 210 年代ついては、個々の年代値を採用することは難しいものの、ある程度の年代感を得ることができる試料と考えられるので、参考データとして扱うこととした。

2) 各重金属元素の堆積挙動を考慮した重金属 汚染の時系列解析

先に述べたように、鉄およびマンガンは堆積物の酸化状態によって間隙水中に溶出し堆積物中を移動すると考えられるため、堆積物中の濃度から堆積当時におけるマンガンの沼への流入量を読みと取ることができない。一方、カドミウムは、堆積物中の濃度が低いうえ目立った鉛直変化を示さず、人為的影響による流入を検出することは以外にも自然状態での流入量が大きいものと考えられる。このため、正も自然状態での流入量が大きいものと考えられる。このため、正も自然状態での流入量が大きいものと考えられる。このため、正の時系列解析を行った。図8は先に求めた各コアの堆積年代値から、亜鉛、銅、クロムの濃度変化

を年代軸で表したものである。流域の市町村の人口ならびに製造業事業所数の変化のグラフは、それぞれ各年度の国勢調査報告ならびに工業統計表(市町村編)、千葉県統計年鑑の統計ほかにより作成した。

まず、亜鉛は 1946 年付近では約 70 mg/kg であったが、1955 年頃から急激に濃度が上昇し、1990 年には 1955 年当時の $3 \sim 4$ 倍に増加した。また銅も 1955 年頃から、クロムは 1963 年ころから濃度上昇が始まり現在に至っている。

亜鉛と銅の濃度が急激に上昇し始める 1955 年 付近は水質の汚濁はそれほど進んでいなかった と考えられており(星野、1987)、さらに炭素・ 窒素の年代変化を見ても、1955年当時におけ る富栄養化は著しくなかったと考えられる。こ の 1955 年頃からの亜鉛と銅、1963 年からのク ロムの底質への蓄積には、各元素の湖水中ある いは底質中での挙動の特徴が影響していると考 えられる。千葉県では1975年以降毎年手賀沼 の水質検査を行っているが(千葉県環境部水質 保全課, 1975~1993), その結果, 各元素の湖 水中の濃度は常に亜鉛は 0.05 mg/kg 以下,銅 は 0.01 mg/kg 以下, クロムは 0.02 mg/kg 以下 とそれぞれ飲料水基準 (亜鉛 1.0 mg/kg 以下,銅 1.0 mg/kg 以下, クロム 0.05 mg/kg 以下)を大 幅に下回っており、人間活動により沼に排出され た重金属元素は湖水におけるそれらの濃度の変化 として現れていないことがわかる。重金属が堆 積する際に水中に滞留する時間については、松 本(1989)による東京湾での例によれば、銅につ いては 0.051 年(19日) と見積もられている。ま た、河川水中の重金属が河床堆積物へと取り込ま れていく際、粘土粒子、有機物、水酸化物コロイ ドなどが吸着媒体として作用するものとされてい る (Hungspreugs et al., 1990)。 重金属の形態分 布を交換吸着相、炭酸塩相、鉄 マンガン水和酸 化物相, 有機物/硫化物相および残留物相とに分 離した欧陽ほか(1992)によれば、銅は有機物/ 硫化物相, 亜鉛は鉄 マンガン水和酸化物相の占 める割合が抽出相全体の中で最も高い。 亜鉛, 銅、クロムが堆積物の間隙水中にほとんど含まれ

ていないことも含めて考えると、沼に流入したこ の3元素は底質を構成する有機・無機質コロイ ドに吸着され、速やかに湖底堆積物に沈殿したと 考えられる。このように3元素による底質の汚 染は比較的早くから進んでいたと推定される。な お、1955年は干拓が開始された時期であり、沼 の閉鎖性が増し、流入した各重金属元素が堆積し やすくなったことも要因の一つとして考えられ る。亜鉛と銅は生活廃水に多く含まれているため (小林・楠田、1985)、底質の亜鉛・銅による汚染 は周辺地域の都市化とそれに伴う人口増加が主原 因であると考えられる。1990年以降は濃度上昇 に頭打ちの傾向がみられた。これには、1989年 の大堀川浄化施設の完成や、下水道整備事業の推 進などの、手賀沼浄化政策がわずかであるが寄与 しているものと考えられる。

クロムは 1963 年頃から濃度上昇は始まり、人口の経年変化とはずれが見られた。またクロムは家庭廃水にはほとんど含まれないことから(小林・楠田, 1985)。1962 年以降に大堀川流域に立地を開始した各工場団地の工場廃水の影響が強いものと考えられる。

3) 炭素・窒素濃度と C/N 比を指標とした富栄 養化の時系列的解析

全炭素、全窒素および C/N 比の濃度変化を年代軸で表したのが図 9 である。図 10 に本研究の結果から考えられる手賀沼の汚染と関連する周辺環境の変遷を示す。

TG11の全炭素・全窒素量はともに 1946年付近から 1955年付近までは穏やかに上昇するが、1955年付近から 1975年付近までやや減少傾向を示す。そして 1975年から 1990年まで濃度は上昇し、1990年以降は濃度上昇に頭打ちの傾向が見られた。TG12、17、20のコアの全炭素・全窒素量も、値の変化する年代は異なるものの、概ね下位の層準に比べて上位の層準の値が大きくなる傾向を示す。C/N 比は各コアでほぼ同様の経年変化を示し、1940年代に11前後であった値がそれ以降は徐々に減少し、現在では9前後となっている。

底質中の全炭素・全窒素量の増加が始まったと

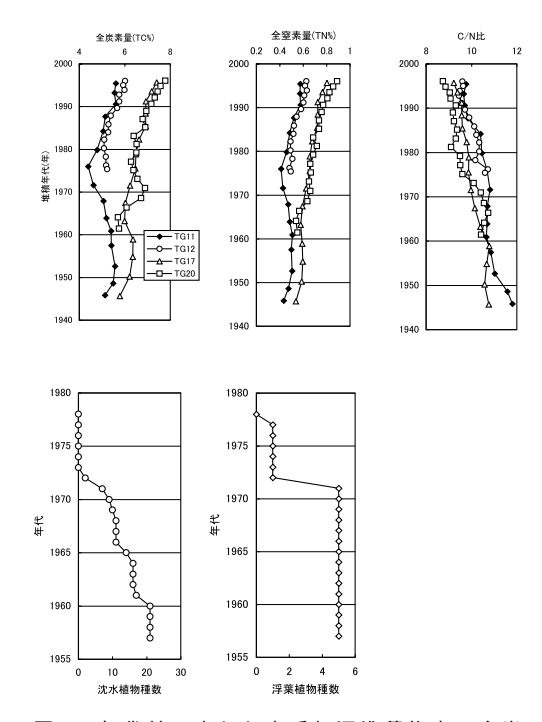


図 9 年代軸で表した本手賀沼堆積物中の全炭素量,全窒素量,C/N 比および沈水植物・浮葉植物種数の推移. 沈水植物・浮葉植物種数は沼田(1985)より作成.

Fig. 9 Chronosequencial variation of total carbon content, total nitrogen content, and C/N ratio in Hon-Teganuma sediment cores and the number of submerged plant species, as well as those of floating leaf plants in Lake Teganuma. Number of plant species taken from Numata (1985).

みられる 1946 年付近から 1955 年付近については、当時の水質データを得ることができない。しかしながら、1955 年には手賀沼に開設された柏町営水泳場において生活廃水の影響によって多量の大腸菌が検出され、以後水泳場が廃止されたことが記録されている(柏市史編さん委員会、1981)。おそらく、すでに 1940 年代前半から周辺地域の人口増加により手賀沼の富栄養化は徐々に進行していたものと推察される。

ところで、TG11では1955年付近から1975 年付近まで全炭素・全窒素量は減少する傾向が認

められる。このような減少傾向は、年代がややず れるものの TG17 と TG20 にも認められる。し かし、この時期にも周辺地域の人口は漸増して おり、流入汚濁廃水量が減少し貧栄養化するこ とは考えにくい。一方、手賀沼では1955年から 1968年にかけて大規模な干拓工事が行われてお り(相原、1981;浅間、1989)、全炭素・窒素量の 減少時期と一致している。この時期には干拓によ り工事に伴う外来性の砕屑性粒子の供給量の増加 あるいは湖水の停滞性の進行に伴う細粒粒子の堆 積量が増加して、有機物含量が希釈されたことに よるものではないかと考えられる。また、相原 (1981)によると、手賀沼では1970年前後まで 農業用の掘り抜き井戸があり、自噴していたこと や、現在の手賀大橋付近に湧水があったことが記 録されている。手賀大橋に近い TG11 は、手賀沼 にかつて存在した湧水点に近いことから、TG11 では1975年付近まで湧水により局地的に富栄養 化の進行が抑制され、全炭素・全窒素濃度も低 かったのではないかと考えられる。

さらに、底質中の全炭素・窒素量はTG11で は 1975 年付近から増加傾向を示し、この増加傾 向は TG17、20 にも認められる。手賀沼の水質、 底質の富栄養化はこの時期あたりから急激に進行 したと考えられる。浅間(1989)は、手賀沼の水 生植物の推移について考察し、この中で1960年 頃に沈水植物や抽水植物が減少し始め、1971~ 1972年にかけて激減したと報告しており、この 原因として急激な水質の悪化を指摘している。千 葉県公害対策局が1969年以降の手賀沼の水質検 査を行っている。これによると 1969 年当時には すでに COD が 10.2 mg/l と環境基準 (5 mg/l)を 超えており、1971年から1972年にかけてCOD が 10.1 から 22.6 mg/l へと急上昇した。さらに、 濱田(1998)は底質を用いた珪藻遺骸群集分析を 行った結果、1965年前後から手賀沼の水質汚濁 が進み、汚濁に耐性のある種の急激な増加と耐性 の無い種の急激な減少があったことを明らかにし ている。これらの各報告は、富栄養化の指標とし て見た底質中の全炭素・窒素量の時系列変化と非 常に調和的である。

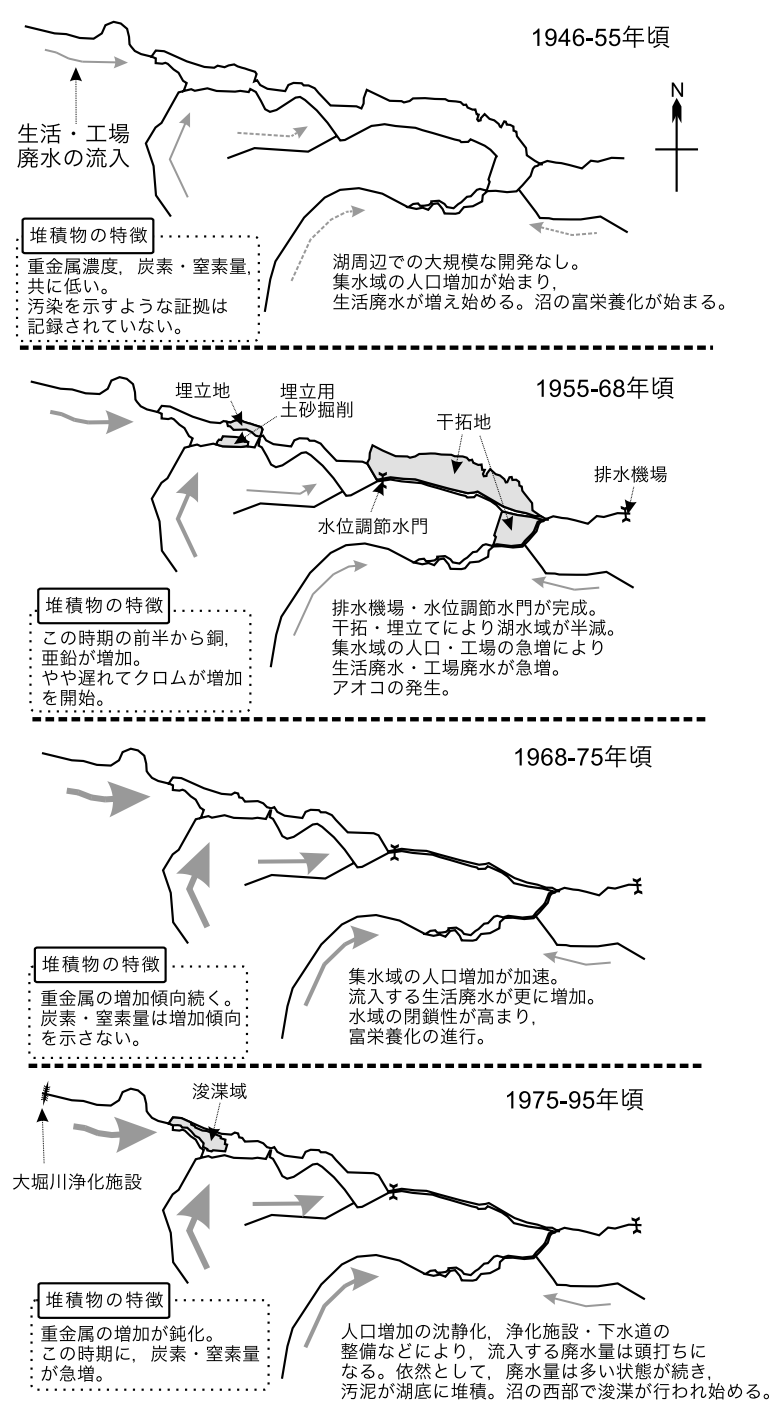


図 10 手賀沼の汚染の経年変化と周辺環境の変遷.

Fig. 10 Chronosequencial pollution of Lake Teganuma and environmental changes to its surrounding area.

また、C/N 比は TG11で 1975年付近から減少傾向を示しており、同様の傾向はやや時期を前後して TG17、20にも認められる。これは手賀沼において陸生の植物(C/N 比:15以上;亀井ほか、1997)に比べて C/N 比の低い植物プランクトン(C/N 比:6~7)が増えたこと、汚濁廃水などから栄養塩として窒素化合物が過剰に流入しはじめたことなどが考えられる。これらのことから、手賀沼では 1960年頃から沼の富栄養化が始まり、1971年から 1972年にかけて急激に汚濁が進み、試料を採取した当時までは汚濁が続いていたと推定される。

この 1960 年代後半から 1970 年代前半の手 賀沼における急激な富栄養化の原因としては, 1968年に終了した干拓により沼が閉鎖性を増し、 湖水の平均滞留時間が長くなったことや、湛水量 の減少により流入汚濁物質が希釈されなくなった ことが考えられる。これ以外には1963年以降に 行われた柏市豊四季団地、手賀沼の浚渫土を用い て造成した我孫子市若松地区の住宅団地などの大 規模な宅地造成などによる人口増加と、それによ る手賀沼に流入する汚濁廃水の増加、さらに大堀 川を工場廃水の放出先として立地する食品加工や 繊維工場の進出に加え、柏市第一し尿処理場の操 業開始および根戸地区における工場団地の造成と 操業などの影響が考えられる。しかし、千葉県公 害対策局(1973)によれば、手賀沼の有機汚濁の 主原因は特定工場の廃水ではなく生活廃水系が約 80%(産業系約4%)を占めていること、また手 賀沼の集水域の人口変化と全炭素・窒素量の濃度 変化がよく対応することから、沼の有機汚濁は沼 の集水域の人口や市街化の影響をとくに強く受け ているものと考えられる。

V. おわりに

本研究では、4 つの底質試料を用いて手賀沼の重金属および富栄養化に関する情報を解読することを試みた。TG11以外の3 試料については、十分な時間軸の精度とタイムレンジを有していないために、コア間の変動パターンの対比を行うのに耐えうるデータを得られなかった。おそらく、試

料自体の問題と年代測定法の精度上の問題が指摘される。しかしながら、年代測定において、鉛210法とセシウム 137法の両方でクロスチェックされた TG11 の試料は、観測資料が存在しない時代の手賀沼の重金属汚染と富栄養化に関する信頼性ある記録といえる。

謝辞

本研究を進める上で電力中央研究所井上大榮博士には、多大なご助言とご協力を頂きました。京都大学の馬原保典教授ならびに北海道大学の五十嵐敏文助教授には、電力中央研究所在職当時、それぞれ鉛 210・セシウム 137 のガンマ線測定、ICPによる重金属濃度測定に関して、多くのご教示頂くとともにご便宜を計っていただきました。また、査読者の方には、原稿の修正の過程で、多くの有益な指摘をいただき、本稿の内容は大幅に改善されました。ここに記して感謝いたします。

1 文 献

相原正義 編(1981) 柏の風土記, 64 78, 崙書房. 浅間 茂(1989) 手賀沼の生態学.2 117, 崙書房.

- Aston, S.R., Bruty D., Chester, R. and Padgham R. C. (1973) Mercury in lake sediments: A possible indicator of technological growth. *Nature*, **246**: 450
- 千葉県(1992)公共用水質測定結果及び地下水の水質 測定結果、千葉県環境部水質保全課(1975~1993) 公共用水域測定結果及び地下水の水質測定結果、千 葉県公害対策局(1973)水質調査報告書(江戸川、印 旛・手賀沼、内海、流入河川).
- Edgington, D.N. and Robbins, J.A. (1976) Pattern of deposition of natural and fall-out radionuclides in the sediments of Lake Michigan and their relation to Limnological processes. In: J. O. Nriagu (ed.) Environmental Biogeochemistry, Vol.2, Ann Arbor Science, MI.
- Förstner, U., Müller, G. and Wagner, G. (1974). Schwer metalle in den Sedimenten des Bodensees. *Naturwissenschaften*, **61**, 270–272.
- 濱田崇臣(1998) 湖沼堆積物を用いた手賀沼の環境変 遷の検討(その2) 鉛 210法・セシウム 137法に よる堆積物の年代測定と珪藻化石による手賀沼の環 境変化 電力中央研究所報告 U98016, 1 28.
- 濱田崇臣・阿部信太郎(1998) 湖沼堆積物を用いた手 賀沼の環境変遷の検討(その1) 手賀沼の特徴とそ の変遷および音波探査による地質構造 電力中央研 究所報告 U98015, 1 21.
- Hoshika, A. and Shiozawa, T. (1984). Sedimentation rates and heavy metal pollution of sediments in the Seto Inland Sea. J. Oceanogr. Soc Jpn., 40, 115

123.

- 星野七郎(1987) 手賀沼の今昔, 179 199、崙書房.
- Hungspreugs, M., Dharmvanji, S., Utoomprukporn, W. and Windom, H.L. (1990). A comparative study of the trace metal fluxe1s of the Bang Pakong and the Mae Klong rivers, Thailand. Sci. Total Envir., 97/98, 89 102.
- 亀井建史・徳岡隆夫・三瓶良和・石原廣和(1997)松 江平野の完新世堆積物の堆積環境と地盤工学的性質, 応用地質、38、280295.
- 金井 豊・井内美郎・片山 肇・斎藤文紀(1995) ²¹⁰Pb, ¹³⁷Cs 法による長野県諏訪湖底質の堆積速度の 見積り、地質調査所月報、**46**、225 238.
- 金井 豊・山室真澄・井内美郎・徳岡隆夫(2002)島根・鳥取県中海における堆積速度と堆積環境,地球化学, **36**, 4, 161 178.
- 柏市史編さん委員会(1981)(続)柏のむかし,142 145,柏市教育委員会.
- Katsuragi, Y. (1983) A study of ⁹⁰Sr fallout in Japan. Pap. *Met. Geophy.*, **33**, 277–291.
- Katsuragi, Y. and Aoyama, M. (1986) Seasonal variation fo Sr-90 fallout in Japan through the end of 1983. Pap. Met. Geography, 11, 407 414.
- Krishnaswami, S. (1974) Man-made plutonium in freshwater and marine environments. *Proc. Ind. Acad. Sci.*, **80**, 116–123.
- 小林節子・楠田 隆(1985),手賀沼における汚染泥の 堆積と性状、千葉県水保研年報、27、1、1 20.
- Mahara, Y. (1993) Storage and migration of fallout Strontium-90 and Cesium-137 for over 40 years in the surface soil of Nagasaki. J. Environ. Qual., 22, 722 730.
- 松本英二 (1975) ²¹⁰Pb 法による琵琶湖湖底泥の堆積速度. 地質学雑誌, **81**, 301 306.
- 松本英二(1979) 底質からみた沿岸海域汚染の変遷. 地質ニュース, 293, 27 33.
- 松本英二(1989)底質の重金属汚染.水質汚濁研究, 12、274 278.
- 松本英二・横田節哉(1977)底泥からみた東京湾の汚染の歴史.地球化学,11,5157.

- 中島 進(1982) 琵琶湖柱状堆積物中の重金属元素 (マンガン, 鉄, ヒ素, カドミウム, 鉛, 銅, 亜鉛, コバルト, ニッケル)の形態分別. Jap. J. Limnol., 43,6780.
- 中島 進・八木正一・青山 勲(1985) 児島湖湖底堆 積物中の重金属元素(鉄,マンガン,カドミウム, 鉛,銅,亜鉛,コバルト,ニッケル,ヒ素)及びリ ンの形態分析.農学研究,**60**,157 169.
- 日本水産資源保護協会編(1980)新編 水質汚濁調査 指針、恒星社.
- 沼田 真(1985) 房総の生物,河出書房新社.
- 大塚治子(1981)人造湖における新生沈殿物中重金属 元素の存在形態, Jap. J. Limnol., **42**, 28 39.
- 欧 陽通・岡崎正規・小倉紀雄(1992) 多摩川中流域 における河川水および堆積物中の微量重金属濃度と 形態、環境と人間, 18, 52 60.
- Peirson, D.H. (1971) Worldwide deposition of longlived fission products from nuclear explosions. Nature, 234, 79 80.
- Robbins, J.A. and Edgington, D.N. (1975) Determination of recent sedimentation rates in Lake Michigan using Pb-210 and Cs-137. Geochim. Cosmochim. Acta, 39, 285–304.
- Saeki, K., Okazaki, M. and Matsumoto, S. (1993). The chemical phase changes in heavy metals with drying and oxidation of the lake sediments., Wat. Res., 27, 1243 1251.
- Sakata, M. (1985) Diagenetic remobilization of manganese, iron, copper and lead in anoxic sediment of freshwater pond. Wat. Res., 19, 1033–1038.
- 寺島 滋・井内美郎・中尾征三・米谷 宏(1990) 諏訪湖底質中の重金属,有機炭素,硫黄,りん等14元素の地球化学的研究,地質調査所月報,41,147172.
- Thomas, R.L. (1972). The distribution of mercury in the sediments of Lake Ontario. Can. J. Earth Sci., 9, 636

(2005年5月25日受付,2005年12月21日受理)